

E. 59

Abhandlungen  
der Bayerischen Akademie der Wissenschaften  
Mathematisch-naturwissenschaftliche Abteilung  
XXXI. Band, 6. Abhandlung



# Indopacifische Euryalae

1927

von

Ludwig Döderlein

in München

Mit 10 Tafeln



München 1927

Verlag der Bayerischen Akademie der Wissenschaften  
in Kommission des Verlags R. Oldenbourg München

593.9  
(594.93)

### Tafel 1.

Fig. 1 und 1a. *Astrotoma manilense* nov. sp., von den Philippinen, Station 5119 (Scheibe von 31 mm). Von oben und unten.

1b. Arm von der Seite.  $\times 4$ .

Fig. 2 und 2a. *Astrothamnus mindanaensis* nov. sp., von den Philippinen, Station 5543 (Scheibe von 18 mm)

2a. Von unten, Station 5424 (Scheibe von 14 mm).

2b. Scheibe von unten.  $\times 3$ .

2c. Arm.  $\times 4$ .

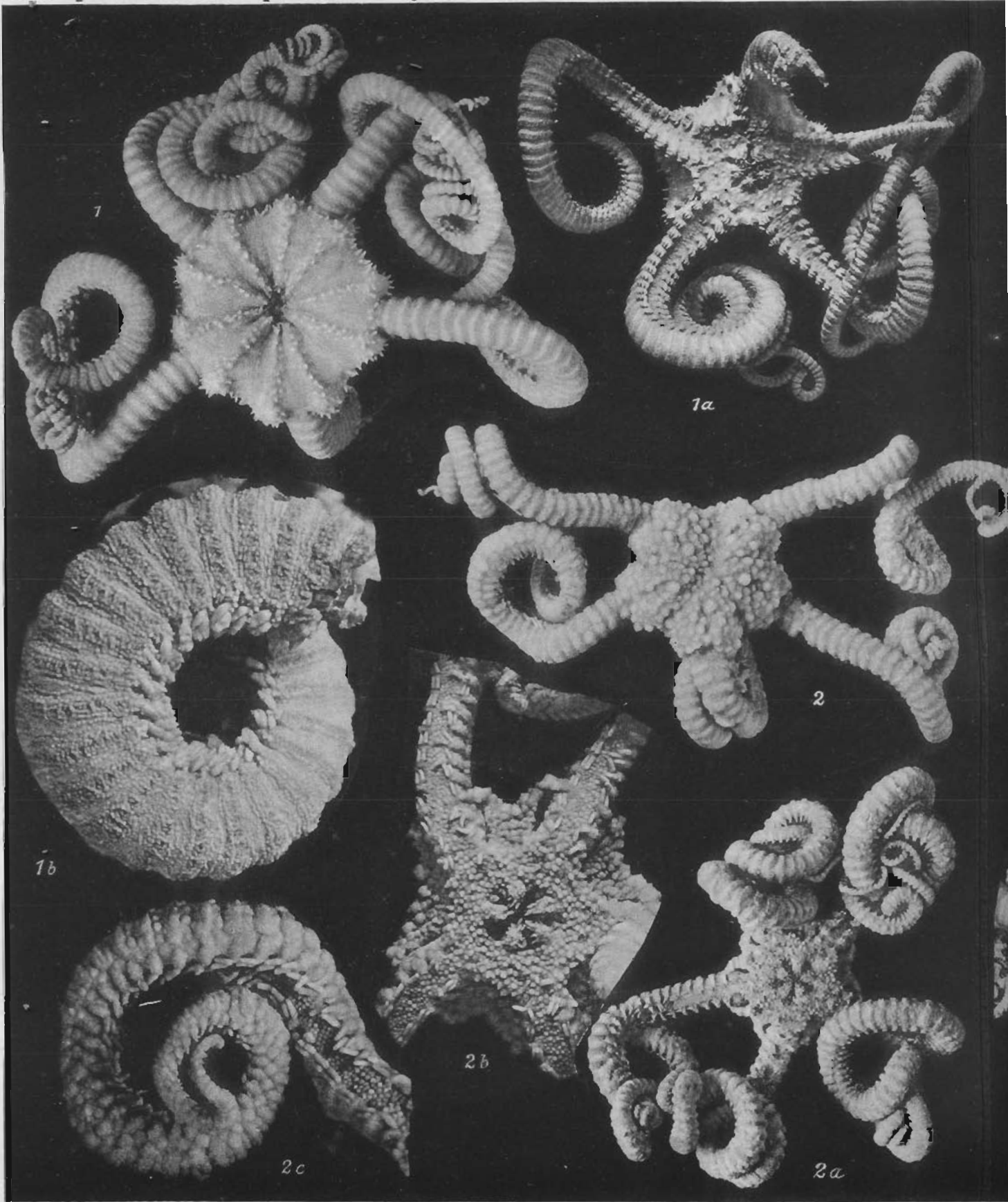
Fig. 3. *Astroglymma sculptum* (Döderlein), von Palawan, Station 5432 (Scheibe von 80 mm).

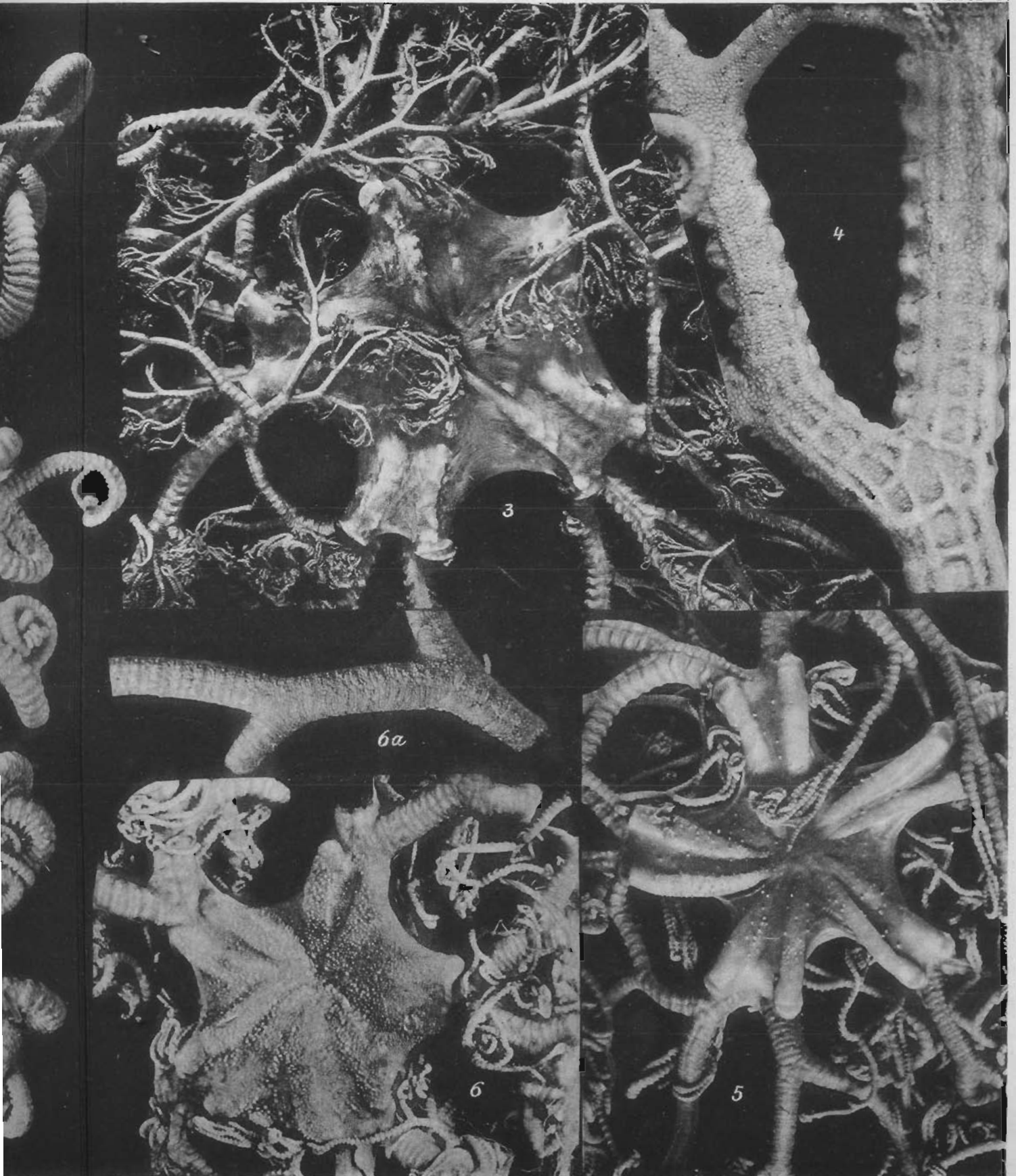
Fig. 4. *Astroglymma sculptum* (Döderlein) von Amboina. Typus. Arm von unten.  $\times 4$ .

Fig. 5. *Astrodendrum pustulatum* H. L. Clark, von den Philippinen, Station 5504 (Scheibe von 29 mm).  
Oberseite der Scheibe mit sehr spärlichen Körnchen.

Fig. 6. *Astrodendrum pustulatum* H. L. Clark, von den Philippinen, Station 5475 (Scheibe von 24 mm).  
Oberseite der Scheibe mit sehr zahlreichen Körnchen.

6a. Arm von oben.  $\times 4$ .





**Tafel 2.**

Fig. 1 und 1a. *Gorgonocephalus sundanus* nov. sp., von der Sundasee, Station 5646 (Scheibe von 63 mm).  
Von oben und unten.

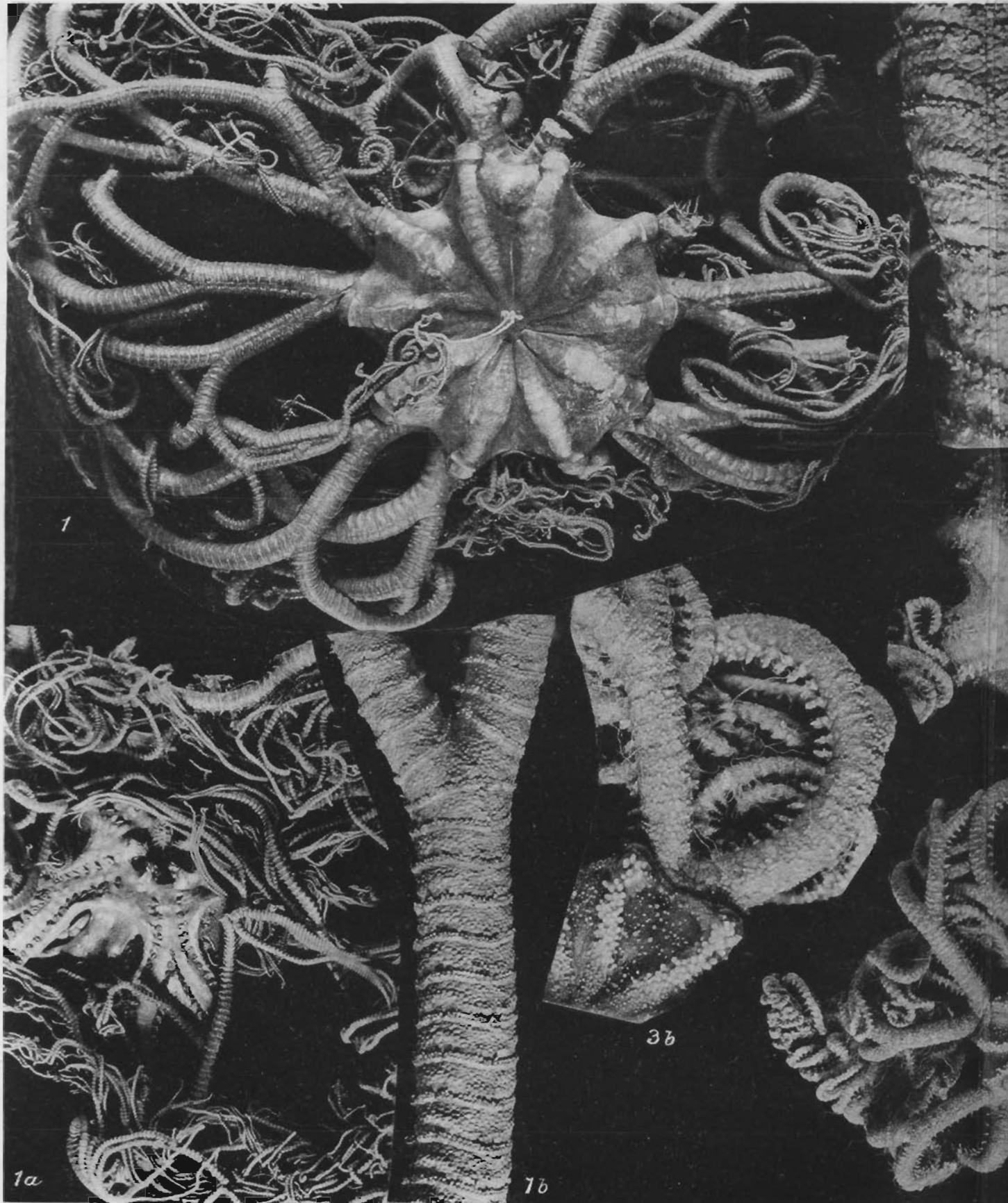
1b. Arm von oben.  $\times 3\frac{1}{2}$ .

Fig. 2 und 2a. *Gorgonocephalus moluccanus* nov. sp., von den Molukken, Station 5635 (Scheibe von 73 mm).  
Von oben und unten.

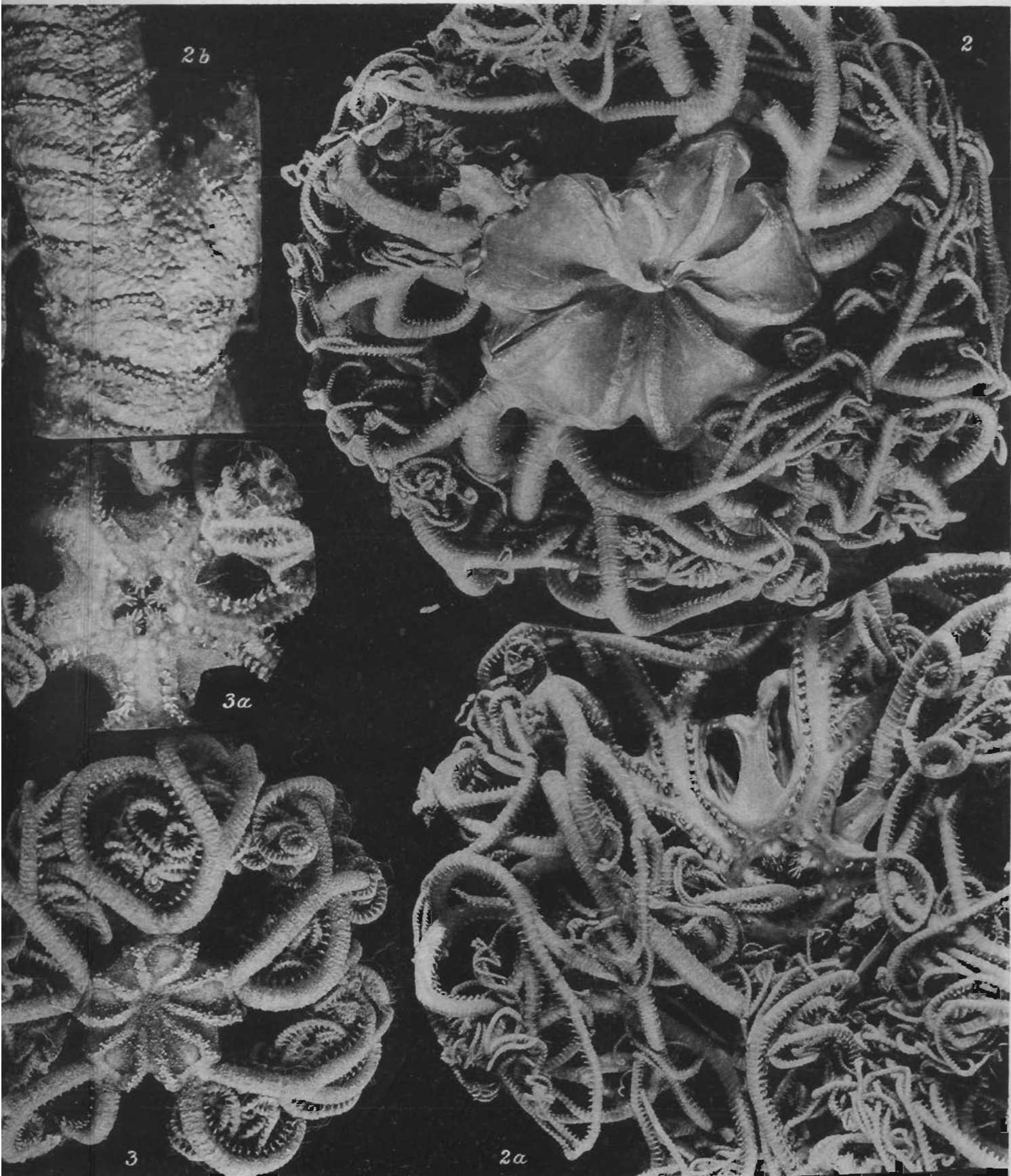
2b. Arm von oben.  $\times 8$ .

Fig. 3 und 3a. *Gorgonocephalus stimpsoni* Verrill, von Süd-Sachalin (Scheibe von 17 mm). Von oben und  
unten.

3b. Teil der Scheibe und Arme von oben.  $\times 4$ .



Abh. d. mathem.-naturw. Abt. XXXI. Bd. 6. Abb.



### Tafel 3.

Fig. 1 und 1a. *Astroplegma expansum* nov. gen., nov. sp., von den Philippinen, Station 5485 (Scheibe von 77 mm). Von oben und unten. Skulptur der Unterseite und die Madreporenplatte ist sehr deutlich.

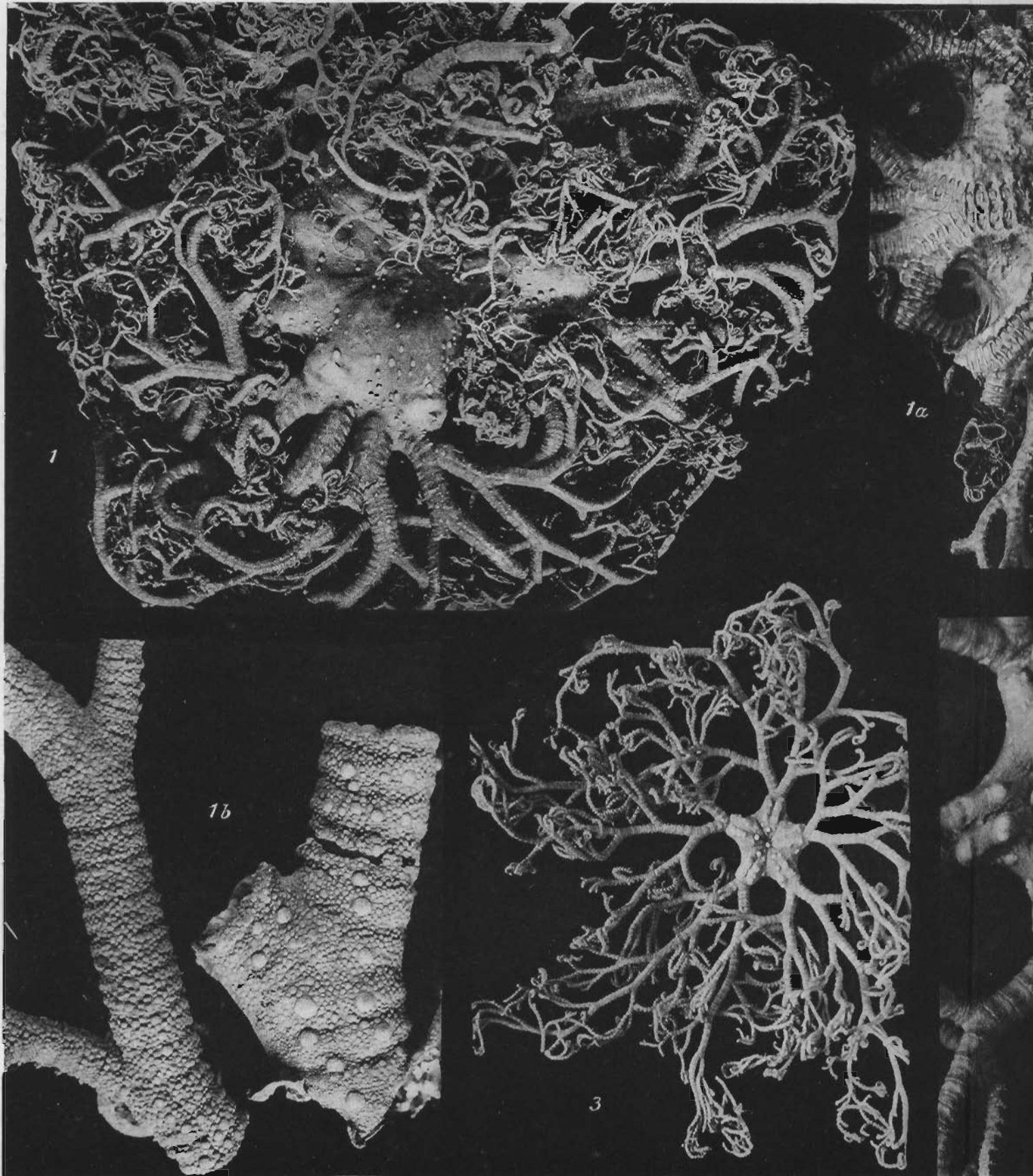
1b. Zwei Armstücke von oben.  $\times 5$ .

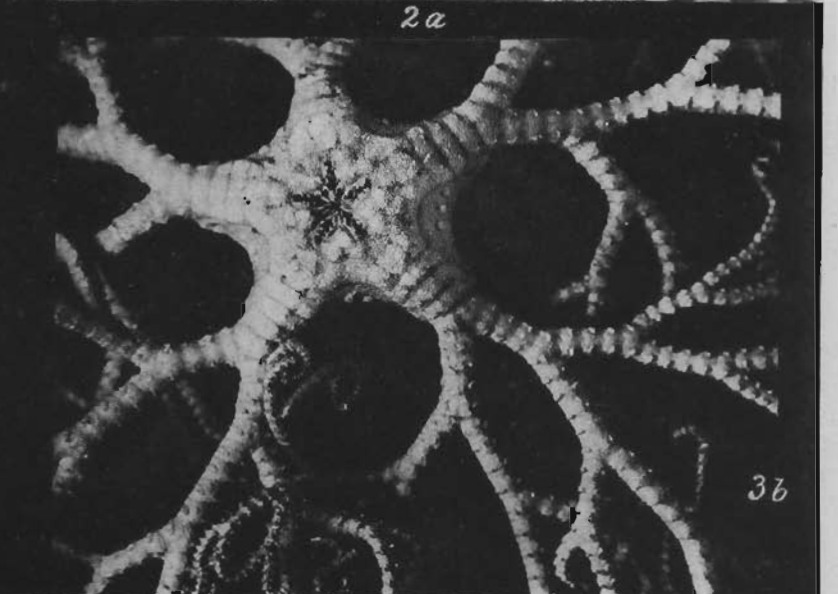
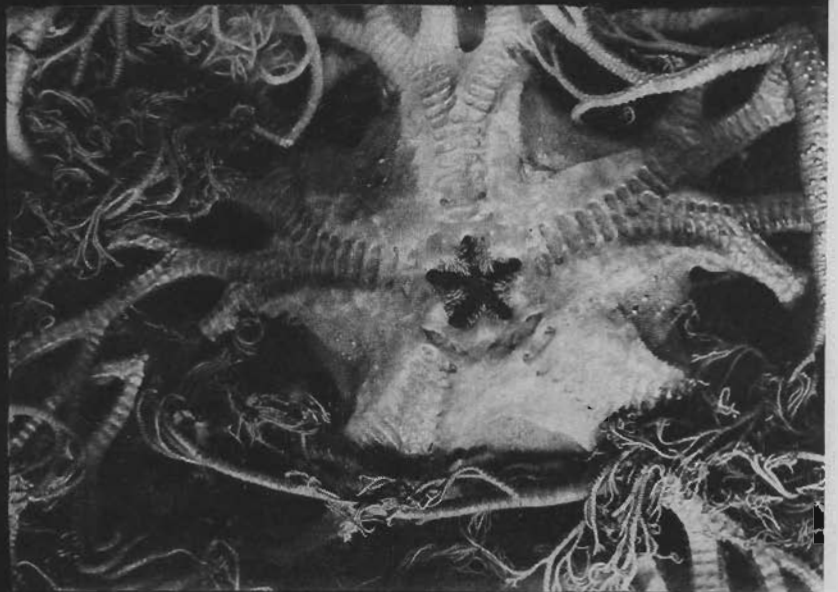
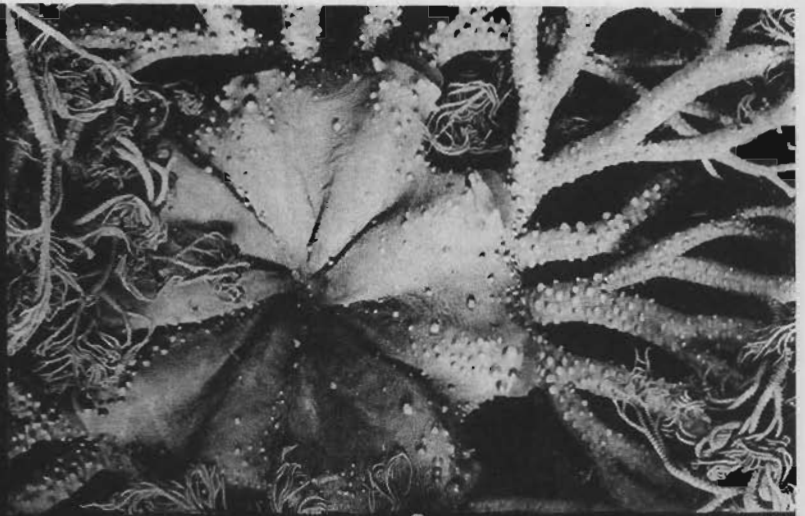
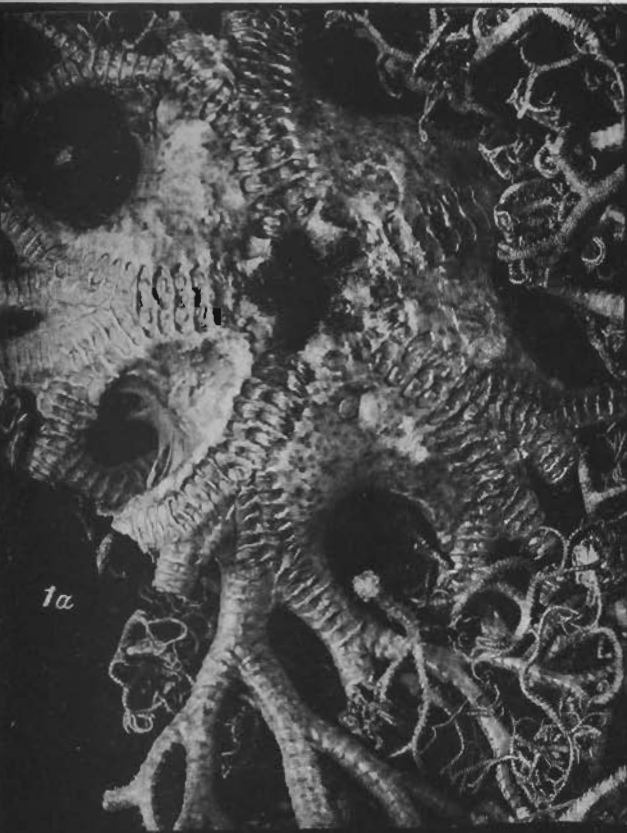
Fig. 2 und 2a. *Astrocladus dofleini* Döderlein, von den Philippinen; Station 5483. (Scheibe von 82 mm). Von oben und unten. Skulptur der Unterseite und Madreporenplatte ist sehr deutlich.

Fig. 3. *Astrocladus ludwigi* (Döderlein) von den Sulu-Inseln, Station 5136 (Scheibe von 8 mm).  $\times 2$ .

3a. Von oben.  $\times 8$ .

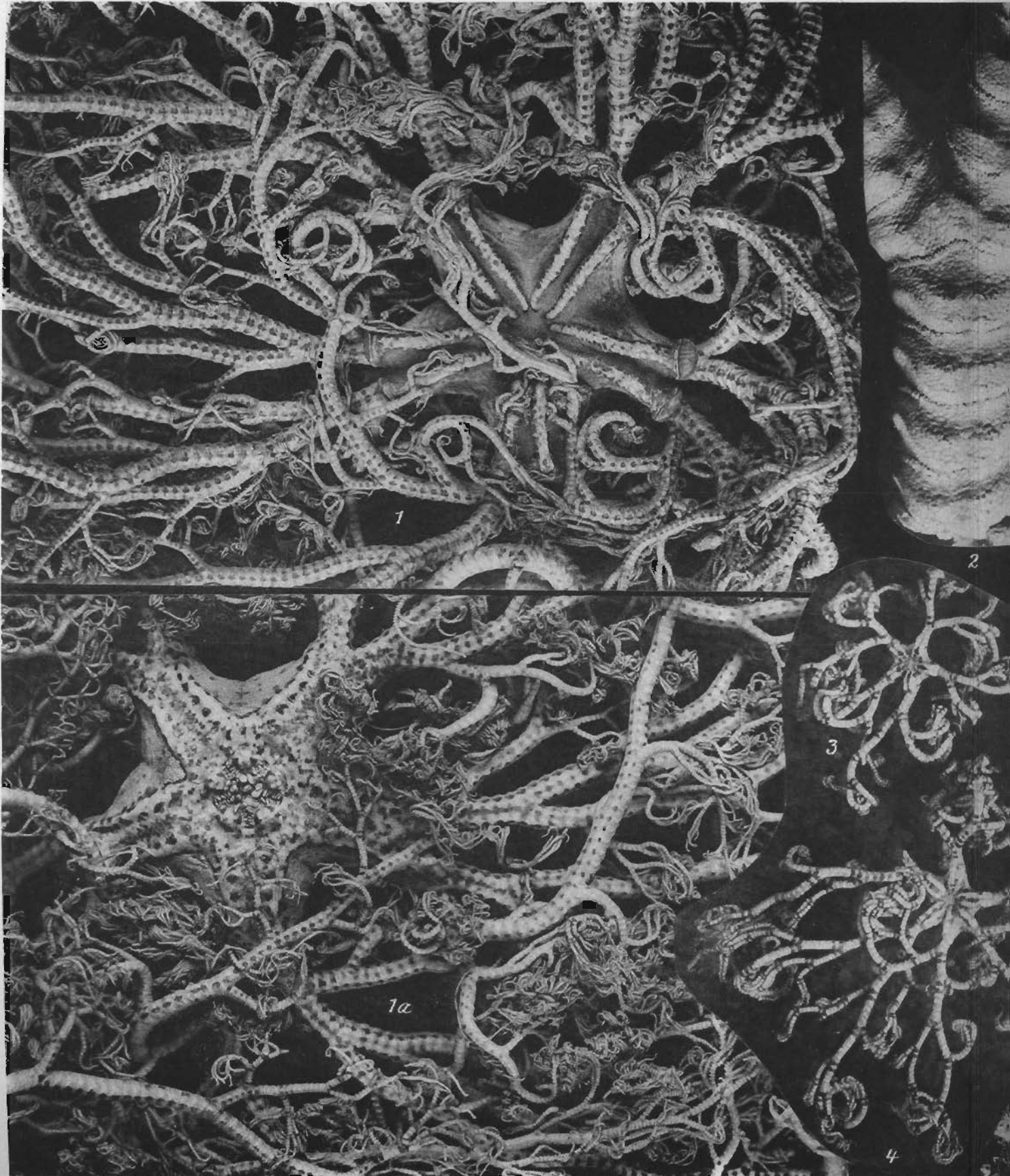
3b. Von unten.  $\times 5$ .

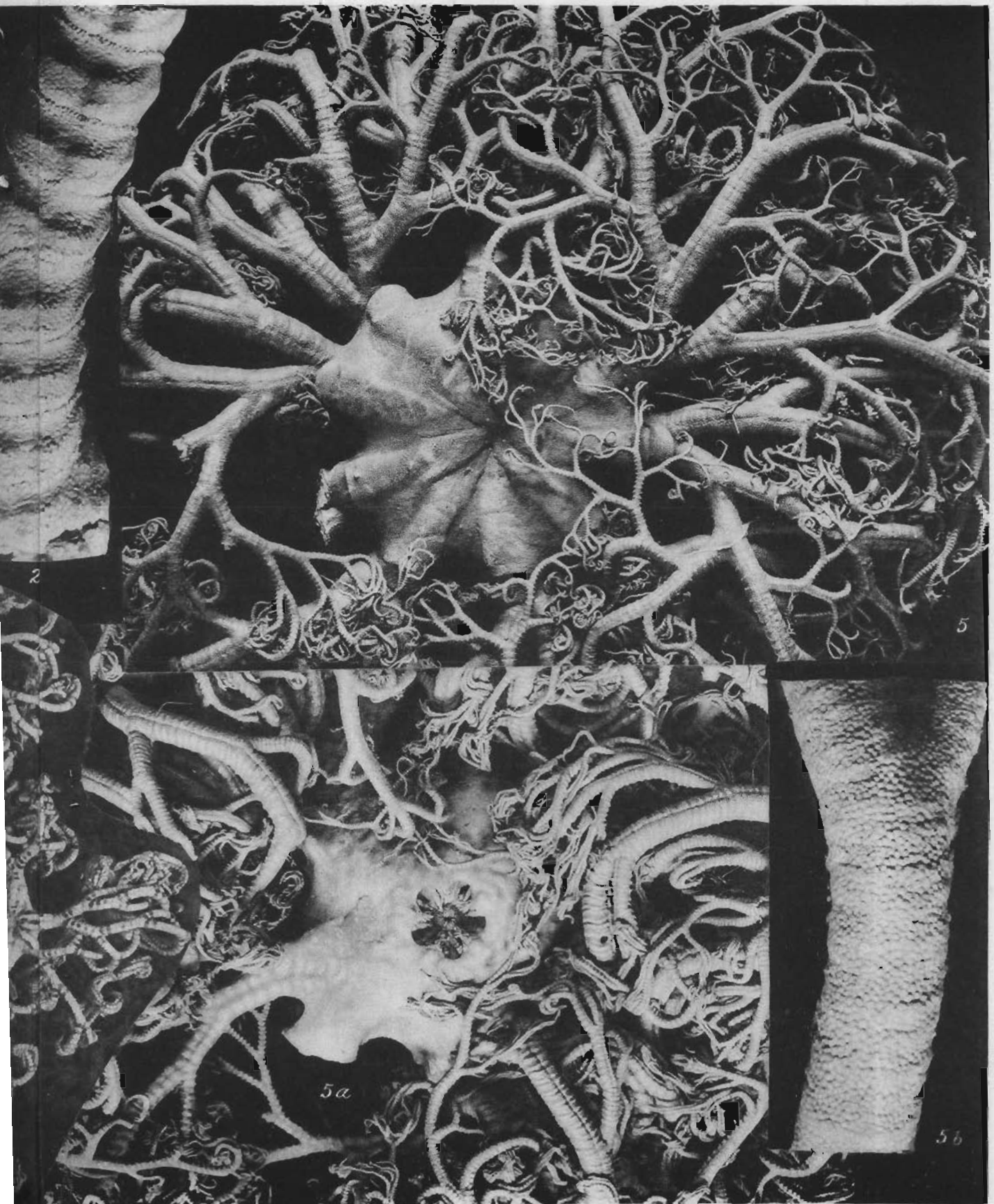




#### Tafel 4.

- Fig. 1 und 1a. *Astroboa nigrofurcata* nov. sp., von der Butonstrasse, Station 5641 (Scheibe von 75 mm).  
Von oben und unten.
- Fig. 2. *Astroboa nigrofurcata* nov. sp., von Bubuan-Insel.  
Arm von oben.  $\times 5$ .
- Fig. 3 und 4. *Astroboa nigrofurcata* nov. sp., von der Butonstrasse, Station 5641 (Scheibe von 8 und 13 mm).  
Zwei junge Exemplare.  $\times 1.4$ .
- Fig. 5 und 5a. *Astroboa albatrossi* nov. sp., von Hongkong, Station 5312 (Scheibe von 73 mm). Von oben  
und unten.
- 5b. Arm von oben.  $\times 4$ .





### Tafel 5.

- Fig. 1. *Astroboa nuda* (Lyman) von den Sulu-Inseln, Station 5146 (Scheibe von 49 mm), von unten.  
Fig. 2. *Astroboa nuda* (Lyman) von den Sulu-Inseln, Station 5139 (Scheibe von 80 mm), von unten. Mit drei Madreporenplatten.  
Fig. 3. *Astroboa ernae* Döderlein von Westaustralien, Typus. Arm von oben.  $\times 8$ .  
Fig. 4. *Astroboa nuda* (Lyman) von den Philippinen, Typus. Arm von oben.  $\times 8$ .  
Fig. 5. *Astroboa clavata* (Lyman) von den Seychellen. Arm von oben.  $\times 8$ .  
Fig. 6. *Astroboa clavata* (Lyman) von den Seychellen (Scheibe von 4.2 mm), von oben.  $\times 5$ .  
Fig. 7. *Astrochalcis tuberculatus* Koehler von Sumbava, Typus. Äußerer Hauptstamm eines Armes mit plumpen Endverzweigungen, von oben.  $\times 5$ .  
7a. von unten.  $\times 5$ .  
7b. Schlanke Endverzweigungen.  $\times 5$ .  
Fig. 8. *Astrochalcis micropus* Mortensen von den Molukken (Scheibe von 5 mm). Von oben.  $\times 4$ .  
Fig. 9. *Astrocladus exiguus* (Lamarck) vom Sulu-Archipel, Station 5153. Arm von oben.  $\times 4$ .  
Fig. 10. *Astrocladus tonganus* Döderlein von den Tonga-Inseln, Typus. Arm von oben.  $\times 8$ .  
Fig. 11. *Astrocaneum spinosum* (Lyman) von den Galapagos-Inseln, Station 3025. Arm von oben.  $\times 8$ .  
Fig. 12. *Astrodictyum panamense* (Verrill) von La Paz. Arm von oben.  $\times 4$ .  
Fig. 13. *Astroglymma sculptum* Döderlein von Amboina, Typus. Arm von oben.  $\times 5$ .

Ludwig Döderlein, Indopacifische Euryalae

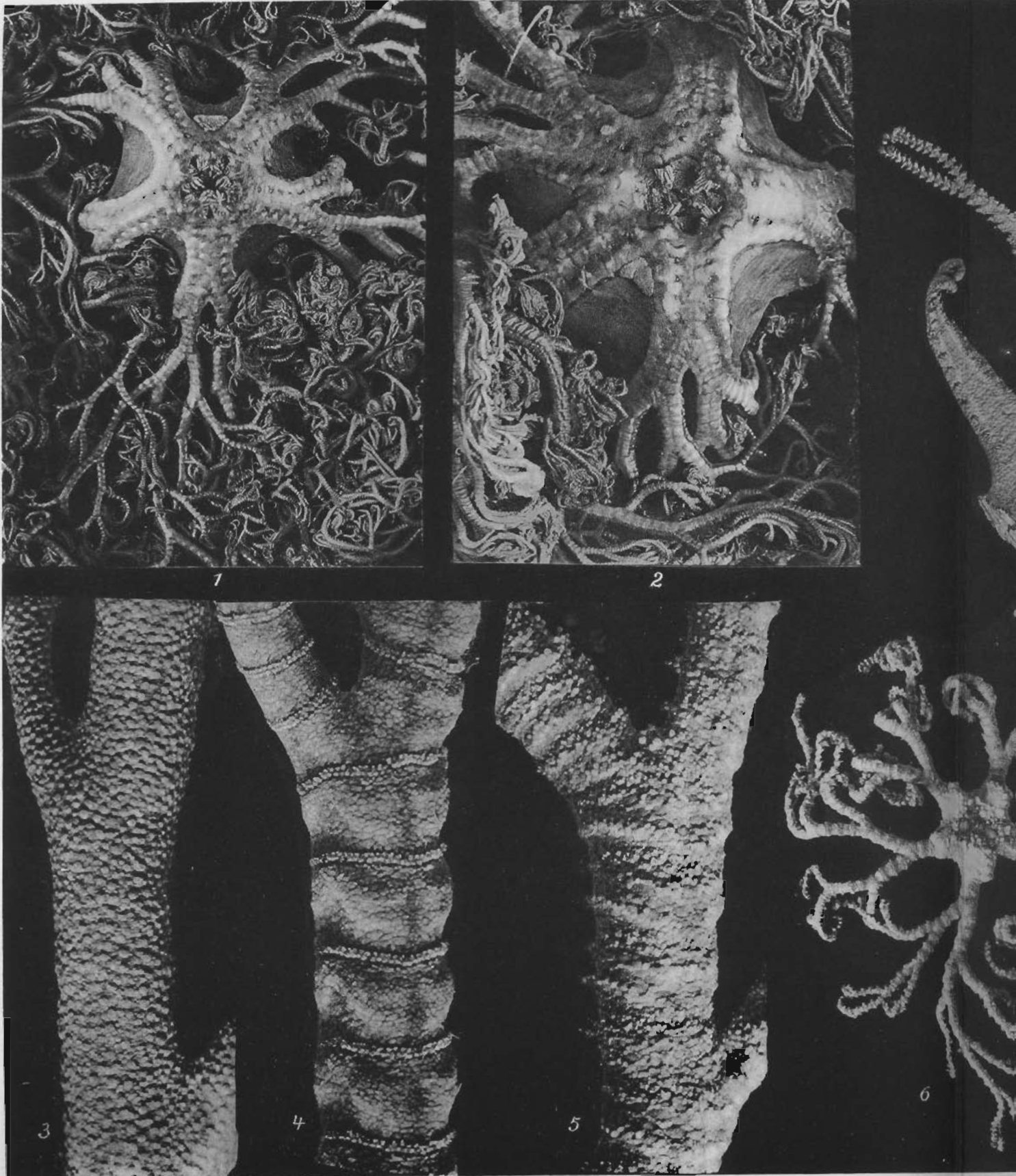
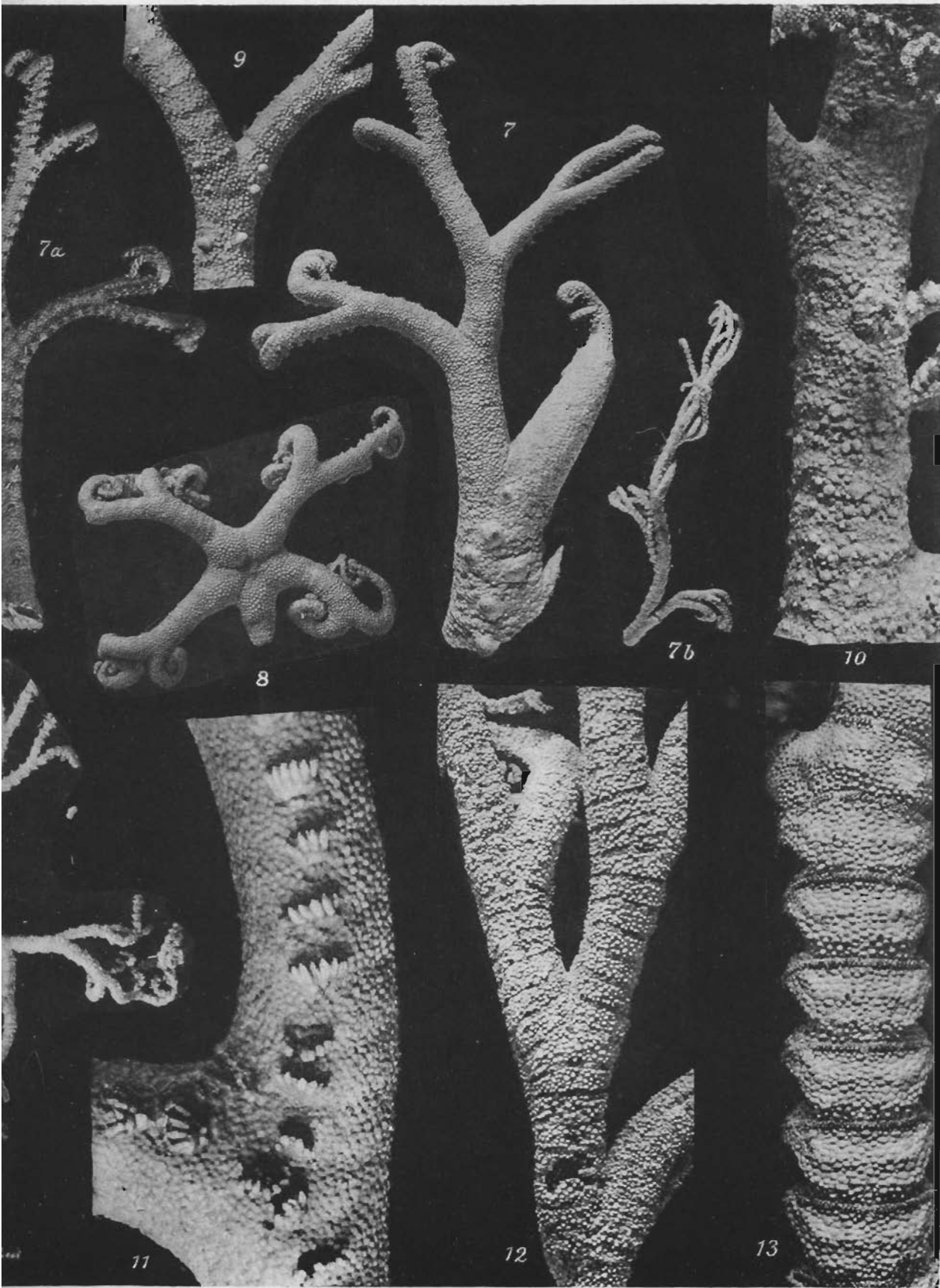


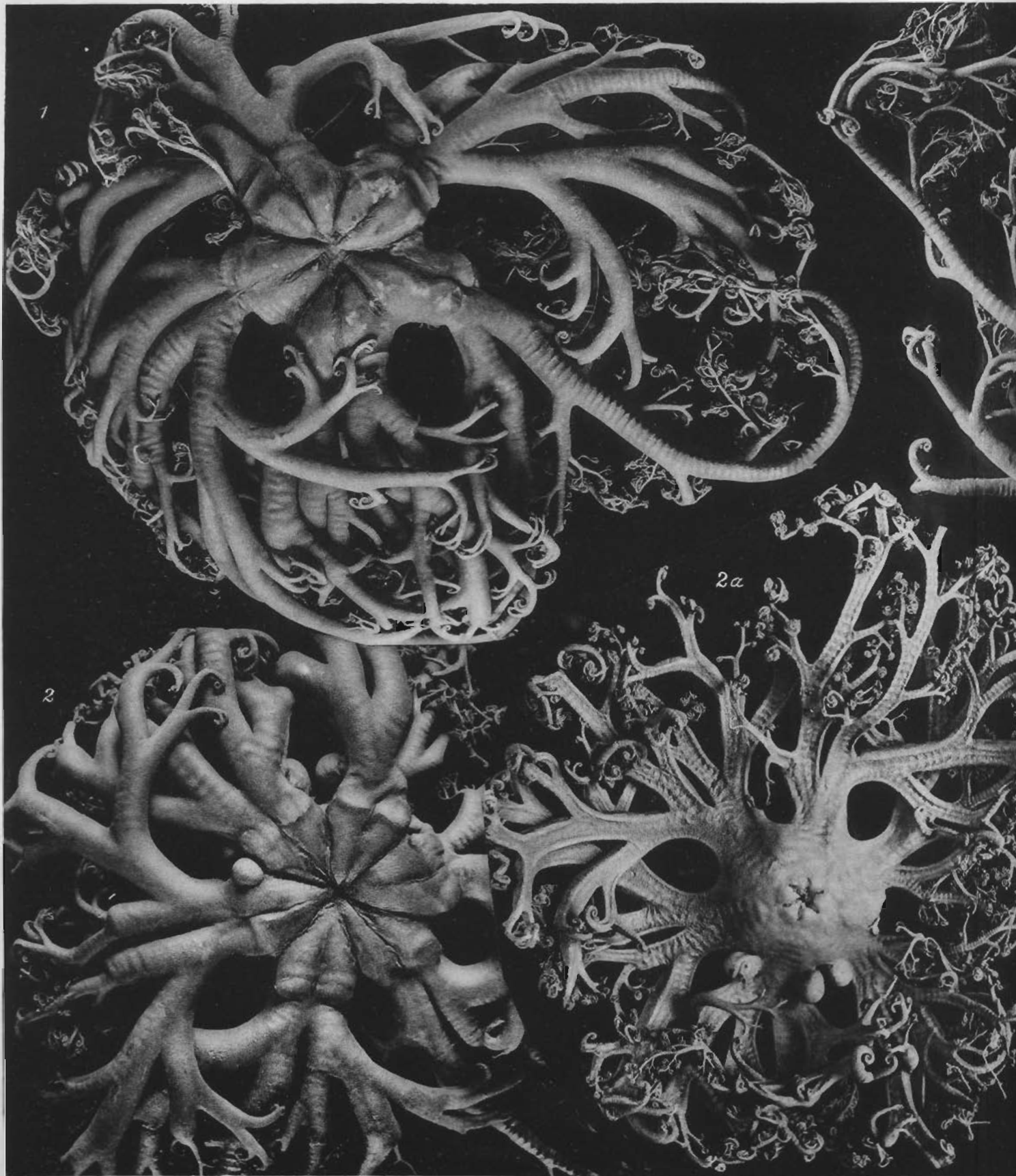
Abb. d. mathem.-naturw. Abt. XXXI. Bd. 6. Abh.



## Tafel 6.

### *Astrochalcis micropus* Mortensen.

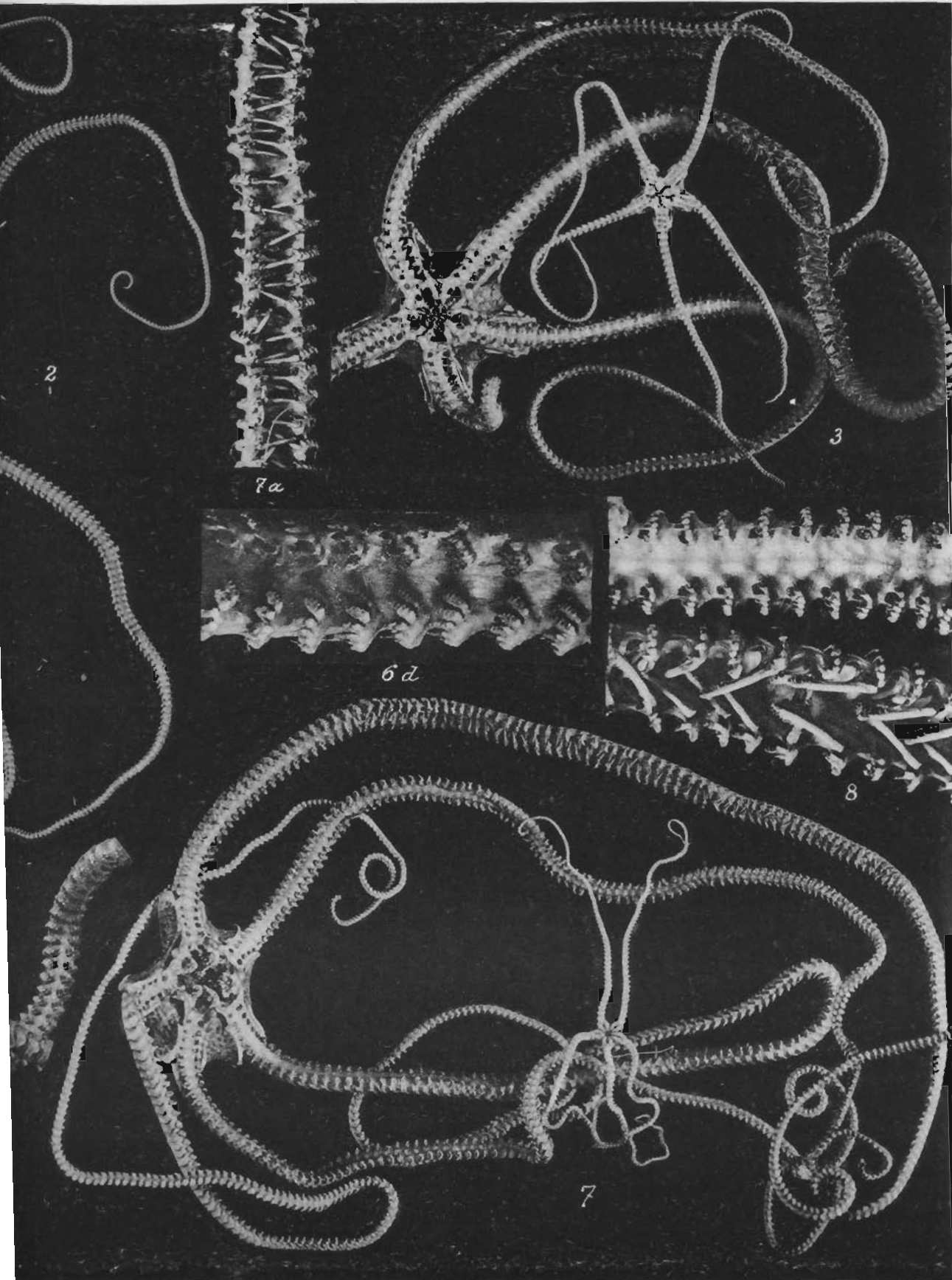
- Fig. 1. Vom Solu-Archipel, Station 5141 (Scheibe von 75 mm), von oben.  $\times \frac{2}{3}$ .
- 1a. Linke Armhälfte mit auffallendem Unterschied von plumpen und schlanken Armverzweigungen.  $\times \frac{4}{5}$ .
- Fig. 2 und 2a. Von Palawan, Station 5338 (Scheibe von 56 mm), von oben und unten. Mit *Stylifer*-Gallen besetzt. Arme etwas verkümmert.  $\times \frac{9}{10}$ .
- Fig. 3. Plumper Armteil von oben; an der Basis ist die oberflächliche Körnerschicht beseitigt, so daß die dicke darunterliegende Körnerschicht frei liegt.  $\times 1\frac{1}{2}$ .
- 3a. Dasselbe von unten.  $\times 1\frac{3}{4}$ .
- 3b. Dasselbe von der Seite, stärker vergrößert.  $\times 4$ .
- 3c. Dasselbe von der Seite; die ganze Körnerschicht der einen Seite beseitigt, so daß die noch vorhandene äußere und innere Körnerschicht im Längsschnitt sichtbar ist.  $\times 4$ .
- Fig. 4. Schlanker Armteil von oben.  $\times 1\frac{1}{2}$ .
- 4a. Dasselbe von unten. Daneben noch zwei plumpe und ein stark eingerolltes schlankes Zweigende.  $\times 1\frac{3}{4}$ .

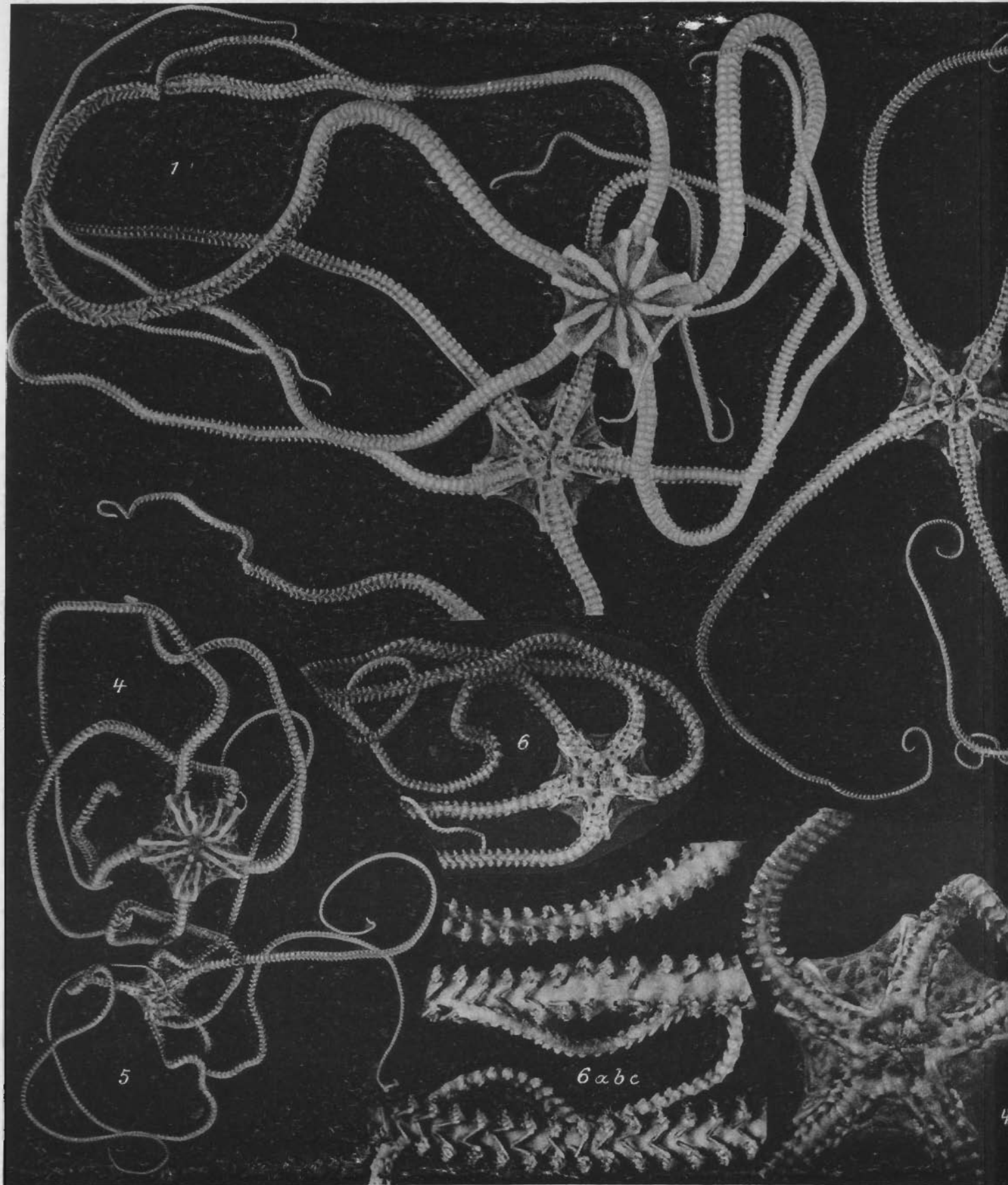




### Tafel 7.

- Fig. 1. *Asteronyx longifissus* nov. sp. von Kalifornien, Station 3198 (Scheibe 25 u. 27 mm.) Exemplar von oben mit sehr ausgedehntem Armteil mit verlängerten Tentakelpapillen; Exemplar von unten mit sehr kurzem Armteil in diesem Zustande, bei beiden an je zwei Armen.  $\times 1$ .
- Fig. 2. *Asteronyx longifissus* nov. sp. von Kalifornien, Station 2392 (Scheibe von 23 mm), von unten; alle Arme ohne verlängerte Tentakelpapillen.  $\times 1$ .
- Fig. 3. *Asteronyx longifissus* nov. sp. von Südkalifornien, Station 2979 (Scheibe von 30 u. 11 mm). Das größere Exemplar mit stark verbreitertem Armteil mit verlängerten Tentakelpapillen.  $\times 1\frac{1}{6}$ .
- Fig. 4. *Asteronyx luzonicus* nov. sp. von den Philippinen, Station 5114 (Scheibe von 21 mm). Alle fünf Arme mit verlängerten Tentakelpapillen. Sehr deutliche von den Gonaden herrührende schwarze Flecken.  $\times 1$ .
- 4a. Dasselbe von unten.  $\times 2\frac{1}{2}$ .
- Fig. 5. Ebenso. Kleineres Exemplar von unten (Scheibe von 12 mm). Verlängerte Tentakelpapillen an allen Armen.  $\times 1$ .
- Fig. 6. *Asteronyx luzonicus* nov. sp. von den Philippinen, Station 5506 (Scheibe von 17 mm). Von unten.  $\times 1\frac{1}{3}$ .
- 6a—c. Verschiedene Armteile von unten.  $\times 4$ .
- 6d. Armteil ohne verlängerte Papillen von unten.  $\times 8$ .
- Fig. 7. *Asteronyx loveni* Müller u. Troschel, von Celebes, Station 5648 (Scheibe von 27 u. 4 mm). Von unten und oben. Großes Exemplar mit verlängerten Tentakelpapillen an zwei Armen.
- 7a. Armteil von unten.  $\times 2\frac{1}{2}$ .
- Fig. 8. *Asteronyx loveni* Müller u. Troschel von Kalifornien, Station 3787. Zwei Armteile von unten.  $\times 4$ .





### Tafel 8.

Fig. 1 (Ziffer fehlt) und 2. *Astrodia plana* Lütken und Mortensen von den Galapagos-Inseln, Station 2818 (Scheibe von 12 und 17 mm). Zwei Exemplare von oben und unten.  $\times 1$ .

2a. Scheibe von oben.  $\times 4$ .

2b. Scheibe von unten.  $\times 4$ .

2c. Armteil von unten.  $\times 4$ .

2d. Armteil von der Seite.  $\times 4$ .

Fig. 3. *Sthenocephalus indicus* Koehler von den Philippinen. Station 5504 (Scheibe von 32 mm). Von oben. Scheibe mit durchscheinenden Gonaden.  $\times 1\frac{1}{3}$ .

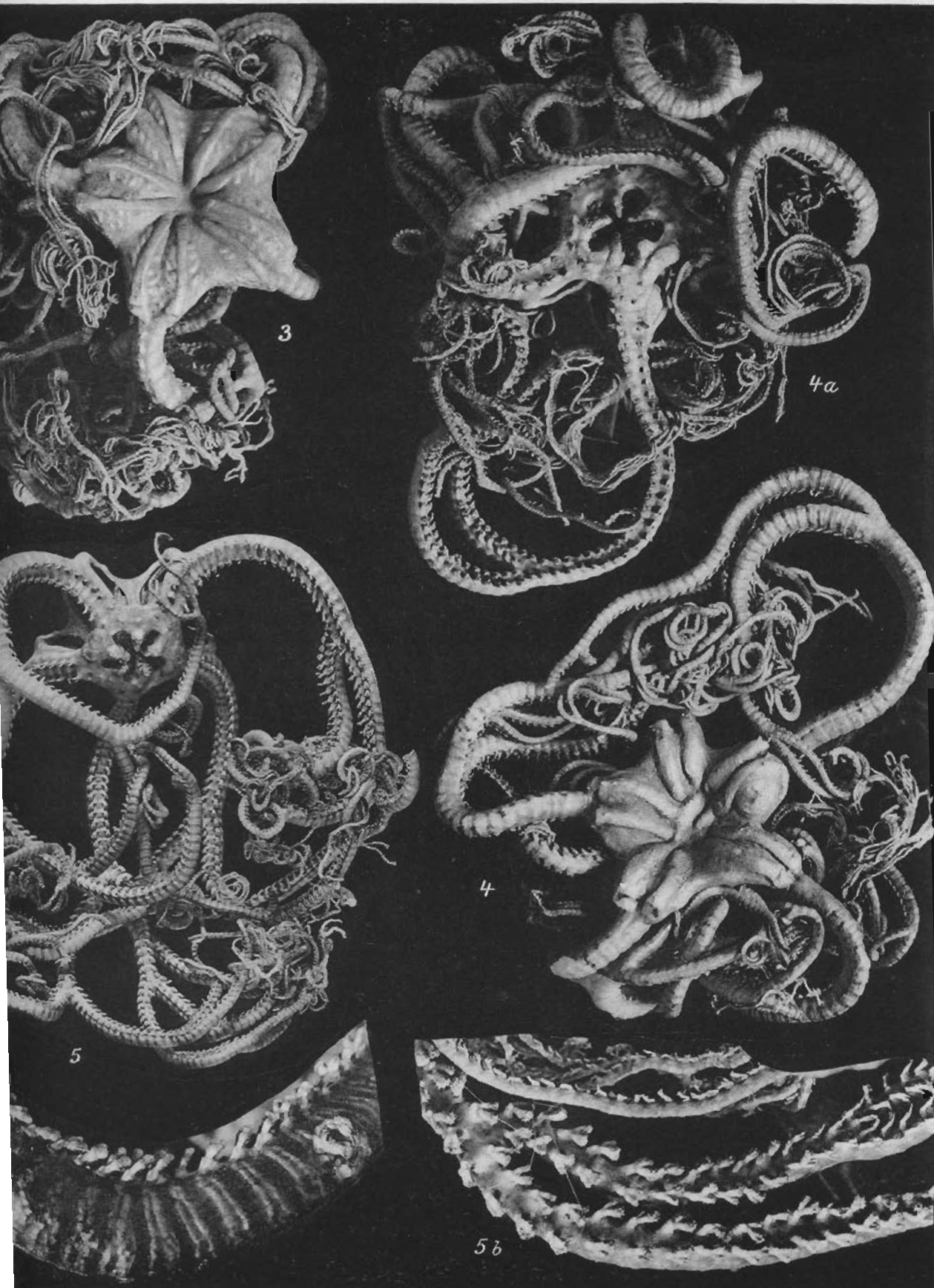
Fig. 4 und 4a. *Sthenocephalus indicus* Koehler von ebendort. (Scheibe von 34 mm). Von oben und unten.  $\times 1\frac{1}{10}$ .

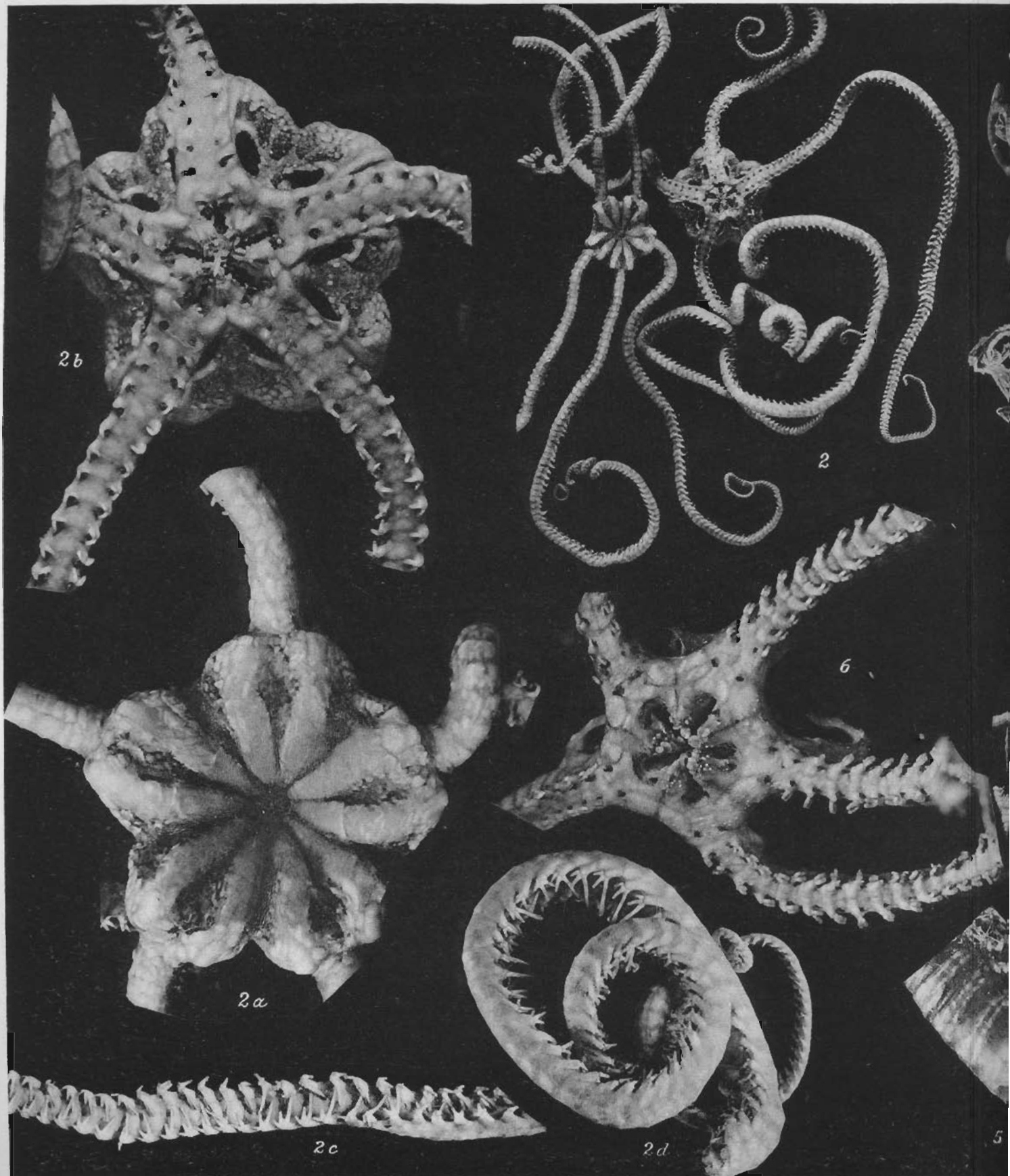
Fig. 5. *Sthenocephalus indicus* Koehler von den Philippinen, Station 5378 (Scheibe von 38 mm). Trockenes Exemplar von unten.

5a. Proximaler Armteil von der Seite.  $\times 4$ .

5b. Distale Armteile von unten und von der Seite.  $\times 4$

Fig. 6. *Ebenzo*. (Scheibe von 21 mm); von unten.  $\times 2\frac{1}{2}$ .

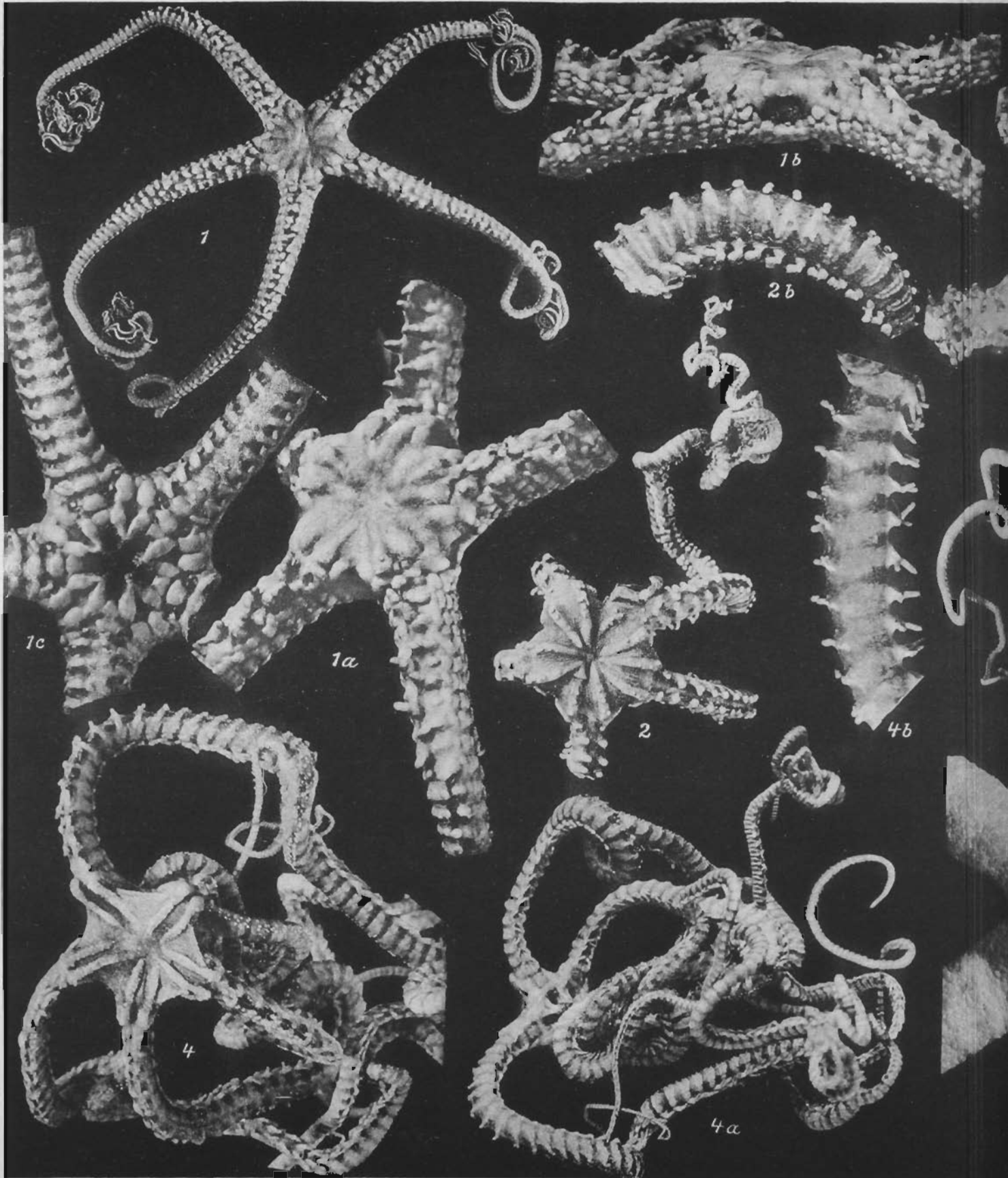




### Tafel 9.

- Fig. 1. *Trichaster acanthifer* nov. sp. vom Indischen Ozean. (Scheibe von 16 mm.) Von oben.  
1a. Von oben.  $\times 2\frac{1}{2}$ .  
1b. Von der Seite.  $\times 3$ .  
1c. Von unten.  $\times 2\frac{1}{2}$ .
- Fig. 2. *Astroceras compar* Koehler von Luzon, Station 5297 (Scheibe von 14 mm). Von oben.  $\times 2$ .  
2a. Von unten.  $\times 3$ .  
2b. Arm von der Seite.  $\times 3\frac{1}{2}$ .
- Fig. 3 und 3a. *Astroceras compar* Koehler von der Flores-See, Station 5661 (Scheibe von 25 mm). Von oben und unten.  $\times 1\frac{1}{3}$ .
- Fig. 4 und 4a. *Astroceras compressum* nov. sp. von den Philippinen, Station 5501 (Scheibe von 13 mm). Von oben und unten.  $\times 2$ .  
4b. Arm von der Seite.  $\times 3\frac{1}{2}$ .
- Fig. 5. *Astrocharis gracilis* Mortensen von der Sulu-See, Station 5423 (Scheibe von 7 mm). Von oben.  
5a. Von oben.  $\times 6$ .  
5b. Von unten. Auf der Armseite sind die glasigen Flecke sehr deutlich.  $\times 6$ .  
5c. Von unten. Die Genitalspalten und die glasigen Flecke sind deutlich.  $\times 6$ .
- Fig. 6. Ebenso. Arm von der Seite mit sehr auffallenden glasigen Flecken.  
6a. Distaler Teil desselben Armes.  $\times 6$ .





### Tafel 10.

- Fig. 1. *Asteroschema mindorense* nov. sp. von den Philippinen. Station 5367 (Scheibe von 16 mm). Von oben.  $\times 1$ .  
1a. von unten.  $\times 2\frac{1}{2}$ .  
1b. Arm von der Seite, trocken.  $\times 4$ .
- Fig. 2. *Asteroschema mindorense* nov. sp. von den Philippinen. Station 5119 (Scheibe von 10 mm). Von oben.  $\times 1$ .  
2a. Arm von der Seite, trocken.  $\times 4$ .
- Fig. 3. *Asteroschema saganinum* Döderlein von Japan. Typus. Arm von der Seite, trocken.  $\times 4$ .
- Fig. 4. *Asteroschema ferox* Koehler von Ternate, Station 5617 (Scheibe von 13 mm). Von oben.  
4a. Basis des Armes von der Seite, trocken.  $\times 4$ .  
4b. Mittlerer Armteil von der Seite, trocken.  $\times 4$ .
- Fig. 5. *Asteroschema clavigerum* von den kleinen Antillen, Station 2752 (Scheibe von 12 mm). Von oben.  $\times 5$ .  
5a. Arm von der Seite, trocken.  $\times 3$ .
- Fig. 6. Ebenso von Station 2753. Arm von der Seite, trocken.  $\times 3\frac{1}{2}$ .
- Fig. 7. *Asteroschema gilolense* nov. sp. von den Molukken, Station 5621 (Scheibe von 22 mm). Von oben.  $\times 1$ .  
7a. Von unten.  $\times 2\frac{1}{2}$ .  
7b. Arm von der Seite, trocken.  $\times 4$ .
- Fig. 8. *Asteroschema ambovesicum* nov. sp. von den Molukken. Station 5634 (Scheibe von 30 mm). Von oben.  $\times 1$ .  
8a. Von unten.  $\times 2$ .  
8b. Arm von der Seite, trocken.  $\times 4$ .

